

مطالعه پهنه‌های دگرسانی در شمال سراب با استفاده از داده‌های ماهواره‌ای، ژئوفیزیک هوایی و تجزیه نمونه‌های صحرایی

داود رفاهی^{۱*}، احمد خاکزاد^۲، نیما نظافتی^۳، خلیل بهارفیروزی^۴ و علی بیاتانی^۵

^۱دانشجوی کارشناسی ارشد، گروه زمین‌شناسی، دانشگاه آزاد اسلامی، واحد علوم و تحقیقات، تهران، ایران

^۲دانشیار، گروه زمین‌شناسی، دانشگاه آزاد اسلامی، واحد تهران شمال، تهران، ایران

^۳دانشیار، گروه زمین‌شناسی، دانشگاه آزاد اسلامی، واحد علوم و تحقیقات، تهران، ایران

^۴دکتر، سازمان زمین‌شناسی و اکتشافات معدنی کشور، تهران، ایران

^۵کارشناسی ارشد، سازمان زمین‌شناسی و اکتشافات معدنی کشور، تهران، ایران

تاریخ پذیرش: ۱۳۹۱/۰۵/۱۴ | تاریخ دریافت: ۱۳۹۱/۰۱/۱۴

چکیده

پیدایش و گسترش ابزارهای پیشرفته سنجش از دور و ژئوفیزیک هوایی در زمینه اکتشاف منابع معدنی در دهه‌های اخیر، ناشی از اهمیت این صنعت است. در این پژوهش، از تصاویر سنجنده ASTER و داده‌های ژئوفیزیک هوایی به منظور پهنه‌بندی نواحی دگرسانی و تحلیل سیستم حاکم بر کانه‌زایی منطقه و تعیین مناطق پتانسیل معدنی در برگه ۱:۲۵۰۰۰ اوغلان سر در شمال شهرستان سراب در استان آذربایجان شرقی، استفاده شد. منطقه از دید زمین ساختی پهنه ساختاری البرز باختری-آذربایجان قرار می‌گیرد و از دید زمین‌شناسی در بردارنده مجموعه‌ای از سنگ‌های آذرین که سن ترشی (اثوس و نوژن) به آنها نسبت داده شده است. این مجموعه شامل انواع سنگ‌های آندزیتی، ریولیتی و گرانوپوریتی است. شکل جایگیری سنگ‌های یادشده به طور چیره به صورت مجموعه‌های آذرآواری شامل انواع توف‌ها و برش‌های آتشفسانی و روانه‌های گدازه‌ای است. در این پژوهش از انواع روش‌های تحلیل طیفی مانند روش فیلتر گذاری تطبیقی (MF)، روش پیش‌بینی خطی (LS-fit)، روش انطباق سیمای طیفی (SFF)، روش نقشه‌بردار زاویه طیفی (SAM) روی تصاویر ASTER، به منظور پهنه‌بندی نواحی دگرسانی استفاده شد. همچنین از روش‌های تجزیه طیفی روی داده‌های ژئوفیزیک هوایی مغناطیسی به منظور استخراج توده‌های کم‌رفا و گسل‌ها استفاده شد. با تصاویر ASTER و داده‌های ژئوفیزیک هوایی، نقشه اولیه پتانسیل معدنی منطقه بدست آمد. برای اعتبارسنجی این نتایج، نمونه از منطقه برداشت شد و نمونه‌ها به روش‌های ICP، XRD، XRF، تجزیه شده و مورد مطالعه قرار گرفتند که نتایج ۹۶٪ درصد، نتایج حاصل از پردازش‌های سنجش از دور و ژئوفیزیک هوایی را تأیید کردند. نتایج حاصل از این پژوهش نشان داد که استفاده همزمان از تصاویر دورسنجی و ژئوفیزیک هوایی می‌تواند به بهبود نتایج حاصل کمک کند. به همین دلیل استفاده از روش‌های یادشده برای دسترسی به نتایج مناسب‌تر و با دقت بیشتر و برای انطباق نتایج داده‌ها با هم ضروری به نظر می‌رسد.

کلیدواژه‌ها: دگرسانی، استر، تحلیل طیفی، ژئوفیزیک هوایی، اوغلان سر.

*نویسنده مسئول: داود رفاهی

E-mail: d.refah@gmail.com

۱- پیش‌گفتار

بررسی‌های اکتشافی سامان‌مند ناحیه‌ای با بهره‌گیری از اطلاعات مربوط به نقشه‌های زمین‌شناسی، ژئوشیمی، ژئوفیزیک هوایی، داده‌های ماهواره‌ای (ASTER, ETM)، نشانه‌های معدنی با تلفیق و مدل‌سازی آنها انجام می‌پذیرد. با داشتن این اطلاعات، شناخت ساختارهای، منشاء، سنگ‌های میزبان و برآیندهای کانی‌سازی و تفسیر آنها می‌توان به هدف اصلی، یعنی استخراج اطلاعات مفید و یا شناسایی نواحی امیدبخش معدنی پرداخت.

تاریخچه سنجش از دور با عکس‌های هوایی آغاز شد و با پرتاب ماهواره‌ها و استفاده از جاروبگرهای چند طیفی وارد مرحله تازه‌ای شد. تصاویر سنجش از دور برتری‌های قابل توجهی دارند، به برخی از توان اشاره کرد.

(۱) تصویربرداری در نواحی مختلف طیف الکترومغناطیسی شامل نواحی مریب؛ فرو سرخ بازتابی و حرارتی و بخش‌های مایکروویو؛ (۲) داشتن دید گسترده برای مطالعه پدیده‌های بزرگ مقیاس؛ (۳) تکرار زمانی و قدرت تفکیک زمینی و طیفی گوناگون و مناسب با اهداف مطالعاتی موردنظر؛ (۴) تصویربرداری از نواحی دشوار گذر.

با پیدایش ماهواره‌های زمینی نسل جدید و استفاده از جاروبگرهای چندطیفی، که اولین سری از این ماهواره‌ها، ماهواره لنده است بود که سنجنده جاروبگر چند طیفی MSS (Multi Spectral Scanner) روی آن نصب شد و از سوی دیگر با جایگزین شدن سنجنده نقشه‌بردار موضوعی TM با داشتن ویژگی‌های تفکیک طیفی و مکانی بهتر، امکان تشخیص کانی‌های رسی و کربنات‌ها و اکسید آهن را فراهم ساخت. بهدلیل آن در سال ۱۹۹۹ سنجنده ASTER که روی ماهواره TERRA نصب شد،

این سنجنده نیز بر پایه نیازهای اکتشافی طراحی شده بود و ویژگی‌های طیفی خاص خود را داشت. که از آن میان، با داشتن قدرت تفکیک طیفی مناسب در محدوده فرو سرخ بازتابی، امکان جدایش بیشتر کانی‌ها رسی فراهم کرد و همچنین این سنجنده با داشتن پنج باند طیفی فرو سرخ حرارتی، امکان تفکیک واحدی‌های سنگی سیلیسی را به وجود آورد (جاهدی و فرجی، ۱۳۸۳).

گفتنی است در این محدوده، مطالعاتی زیادی توسط وزارت صنایع و معادن و سازمان زمین‌شناسی و اکتشافات معدنی کشور و شرکت ملی مس صورت گرفته است که خلاصه و برخی از این مطالعات شامل تهیه نقشه دگرسانی (شکل ۱۳) و نقشه زمین‌شناسی از ۱:۲۵۰۰۰ از محدوده و اکتشافات ژئوشیمی آبراهه‌ای و لیتوژئوشیمیابی است. از نتایج این بررسی‌ها معرفی مناطق حفاری (۱۱ نقطه) برای اکتشافات مس و مولیدن است (مهندسين مشاور کاوشگرگان، ۱۳۸۵). که انجام حفاری گمانه‌های اکتشافی توسط شرکت ملی مس انجام گرفت، ولی متأسفانه نتیجه این عملیات حفاری اکتشافی به یافتن ماده معدنی نیانجامیده است.

به همین منظور در این پژوهش در صدد بررسی لزوم و اهمیت استفاده از داده‌های ماهواره‌ای و تلفیق این اطلاعات با دیگر اطلاعات زمین‌شناسی دنبال شد. در محدوده موردنظر برای اولین بار با استفاده از داده‌های سنجنده ASTER و ژئوفیزیک هوایی مغناطیسی، مطالعات دورسنجی صورت گرفت، تا نتایج حاصل از این داده‌ها نسبت به کارهای پیشین مورد ارزیابی قرار گیرد. ابتدا با استفاده از داده‌های سنجنده ASTER و مغناطیس هوایی و با به کار گیری روش‌های دورسنجی شامل پردازش

۴.۲-۴ ASTER داده‌های

سنجدۀ ASTER که در سال ۱۹۹۹ روی ماهواره ترا (TERRA) نصب شد، با داشتن قدرت تفکیک مکانی و طیفی بهنسبت مناسب، تأثیرات چشمگیری بر مطالعات زمین‌شناسی و اکتشافی گذاشته است و سنجدۀ های تخصصی است که بر پایه نیازهای زمین‌شناسی و اکتشافی طراحی و ساخته شده است، با داشتن قدرت تفکیک طیفی بهنسبت مناسب در محدوده فرو سرخ بازتابی که بیشتر کانی‌ها در آن دارای نمودار جذب طیفی هستند، امکان تفکیک انواع دگرسانی‌ها را فراهم کرده است. افزون بر آن، این سنجدۀ با داشتن پنچ باند طیفی در محدوده فرو سرخ حرارت تنها سنجدۀ Multi Thermal به شمار می‌آید، که تفکیک واحدهای سنگی و استخراج پهنه‌های دگرسانی امکان‌پذیر است (شکل ۳-۳). در این مطالعه از یک صحنه داده استر از که نوع Level_1A و با شماره AST_L1A_002_2003055630.HDR:ID و

مربوط به تاریخ ۲۰۰۲ است، استفاده شد.

۴.۳-۴ داده‌های ژئوفیزیک هوایی

به منظور تعیین مناطق دگرسانی بر پایه داده‌های ژئوفیزیکی از داده‌های مغناطیسی هوایی که به فواصل ۷/۵ کیلومتری توسط سازمان انرژی اتمی و به سیله هواییما برداشت شده است، استفاده شد. در شکل ۱۷- ب بی‌هنجرای‌های مغناطیسی به صورت Color-Shaded یا به عبارت دیگر به صورت رنگی سایه‌دار نمایش داده شده است. بدین معنا که شدت میدان مغناطیسی بالا با رنگ صورتی یا سرخ که به صورت برجسته نیز دیده می‌شود نشان داده شده و شدت میدان مغناطیسی پایین نیز به رنگ آبی تیره دیده می‌شود. به طور کلی شدت بالای مغناطیسی مربوط به سنگ‌های دارای کانی‌های فرومغناطیسی مانند بازالت، بازالت-آنذیت و... بوده و شدت پایین مغناطیسی بیشتر مربوط به سنگ‌های آذرین اسیدی، واحدهای رسوبی و نواحی پوشیده از آبرفت‌های سبز است. البته گفتن این نقطه ضروری است که دگرسانی سبب تضعیف میدان مغناطیسی یا اثر مغناطیسی می‌شود. همچنین اثر دو قطبی‌های مغناطیسی را نیز که به صورت مجاورت یک بی‌هنجرای با شدت بسیار بالا و یک بی‌هنجرای با شدت بسیار پایین دیده می‌شود را نباید از نظر دور داشت. روش‌های ژئوفیزیک هوایی به دلیل پوشش گسترده و ارتفاع پروازی مناسب از روش‌های متداول و مفید در اکتشافات ناحیه‌ای است. از کاربردهای این داده‌ها می‌توان به تعیین محل توده‌های ژرف و نیمه‌ژرف، بررسی نواحی دگرسانی، تعیین خطواره‌های مغناطیسی (شامل گسل‌های اصلی، همیری واحدهای مغناطیسی متفاوت، محل جدایش یا جابه‌جایی واحدهای مغناطیسی، دایک‌ها یا گسل‌های کانی سازی شده و...)، اشاره کرد. در پژوهش به‌منظور بررسی مناطق دگرسانی استخراج شده از داده‌های سنجدۀ ASTER و مقایسه نتایج آن با داده‌های ژئوفیزیک هوایی از داده‌های مغناطیس هوایی ۷/۵ کیلومتری استفاده شد و لایه اطلاعات تصاویر ماهواره‌ای با تصاویر مغناطیس هوایی تلفیق شد و نتایج خوبی به دست آمد.

۵ روش‌های پژوهش

در تصاویر سنجش از دور، پردازش روی تصاویر به‌منظور استخراج دسته اطلاعات صورت می‌گیرد که شامل اطلاعات گستته و پیوسته است. به طور کلی عملیات اصلی پردازش روی تصاویر در دو قالب کلی ردیبدنی (Classification) و مدل‌سازی (Modeling) قرار می‌گیرند. عملیات حسابی از روش‌های مرسم در پردازش تصاویر ماهواره‌ای است. در میان ۴ عمل اصلی از عملگرهای تفربیق و تقسیم استفاده بیشتر می‌شود. در خیلی از موارد به جای تقسیم معمولی، از نسبت عادی شده باندها استفاده می‌شود.

تحلیل مؤلفه‌های اصلی یا PCA از روش‌های شناخته شده در تحلیل تصاویر سنجش از دور به شمار می‌رond. اهداف بسیاری از به کار گیری این روش مدنظر است مانند کاهش ابعاد داده‌ها، کشف تغییرات در تصاویر چند زمانه و آشکار کردن پدیده‌های

و تفسیر بصری و تحلیل‌های طیفی مختلف با نرم افزار Geomatica 10.3، ENVI 4.7 که روی داده‌های ASTER انجام پذیرفت، پهنه‌های دگرسانی جدا و سپس نمونه‌برداری (۲۰۰ نمونه سنگ) و کنترل صحرایی این مناطق دگرسانی انجام شد. روی نمونه‌های صحرایی برداشت شده مطالعات مقاطع نازک و صیقلی و تجزیه و تحلیل‌های آزمایشگاهی به روش‌های ICP، XRD انجام شد، که نتایج این مطالعات (نتایج مطالعات صحرایی و تجزیه‌های آزمایشگاهی) و نتایج دورسنجی بیش از ۹۰ درصد با همدیگر افقاب داشت. بنابراین در پژوهش حاضر ضرورت مطالعات دورسنجی و تلفیق داده آنها با دیگر اطلاعات در راستای کاهش هزینه‌ها و بهبود نتایج پژوهه‌های اکتشافی در دیگر مناطق به دست آورده شد.

۶- منطقه مورد مطالعه

محدوده مطالعه در برگه‌های ۱:۱۰۰۰۰ زمین‌شناسی اهر و مشکین شهر، که عده آن در نقشه زمین‌شناسی ۱:۲۵،۰۰۰ اوغلان سر ۲NE-۵۴۶۶-۲ و بخش کوچکی از آن در نقشه ۱:۲۵،۰۰۰ مجاور است که در فاصله ۲۰ کیلومتری شمال شهر سراب و در استان آذربایجان شرقی قرار گرفته است. مساحت تقریبی آن ۴۲۷ کیلومتر مربع و مختصات جغرافیایی آن شامل عرض شمالی ۳۸° ۲۳' ۰۲" تا ۳۷° ۲۴' ۰۳" و طول خاوری ۳۰° ۴۷" تا ۳۰° ۴۷" خاوری (شکل ۱).

۷- زمین‌شناسی منطقه

منطقه از دید زمین‌ساختی در پهنه ساختاری البرز باختی - آذربایجان قرار دارد و از دید زمین‌شناسی مجموعه‌ای از سنگ‌های آذرین که سن ترشیری (لوسن و نئور) به آنها نسبت داده است را در بر می‌گیرد. این مجموعه شامل انواع سنگ‌های آندزیتی، ریوداسیتی و ریولیتی و گرانوپوریتی است. شکل جایگیری سنگ‌های یادشده به طور چیره به صورت مجموعه‌های آذرآواری شامل انواع توف‌ها و برش‌های آشیانی و روانه‌های گدازه‌ای است. واحد ۴۰ میکروگرانوپوریت پورفیری است که رخمنوی حدود یک کیلومتر مربع در بخش شمالی محدوده اوغلان سر قرار دارد که می‌توان آن را به عنوان یک توده نیمه ژرف (Sub-Volcanic) معرفی کرد. در مشاهدات صحرایی بخش حاشیه‌ای آن بیشتر به مجموعه کانی‌های آرژیلیک دگرسان شده است و نیز پهنه‌های سیلیسی با امتداد روندهای خاص در گستره محدوده دیده می‌شوند؛ به نظر می‌رسد که حاصل فعالیت‌های گرمایی مربوط به آخرین فاز توده‌های نفوذی منطقه است. این پهنه‌ها و رگه‌های سیلیسی ارتباط تنگاتنگی با مناطق دگرسانی همچون آرژیلیکی شدن، سریستی شدن و سیلیسی شدن و همچنین انواع کانی سازی فلزی دارند (بهارفیروزی و رفاهی، ۱۳۹۰).

در امتداد رگه‌های تغذیه‌کننده اصلی معمولاً رگجه‌های متعدد سیلیسی سبب سیلیسی شدن سنگ‌ها و مجرای عبور شده است که برخی از آنها در بالاترین سطح سبب تشکیل پهنه‌های سیلیسی می‌شود که در واقع سازوکار تشکیل آنها همانند تراورتن است، با این تفاوت که به جای مواد کربناتی، مواد سیلیسی در مظاهر فعالیت‌های زمین گرمایی تشکیل می‌شود (بهارفیروزی و رفاهی، ۱۳۹۰) (شکل ۲).

۷- داده‌های مورد استفاده

۷.۱- داده‌های ETM⁺

تصاویر داده‌های ETM⁺ با داشتن ویژگی‌های طیفی و جدایش زمینی بهتر، امکان تعیین و تشخیص مستقیم کانی‌های رسی و کربنات‌ها و اکسید آهن را فراهم می‌کنند. به‌ویژه برای بررسی‌های زمین‌شناسی ناحیه‌ای و پی‌جوبی‌های اکتشافی اولیه بسیار مناسب هستند. بنابراین در پژوهش برای بررسی‌های مناطق دگرسان شده کلی و استخراج خطواره‌های محدوده مورد مطالعه از یک صحنه داده سنجدۀ ETM⁺ که دارای شماره گذر و ردیف ۳۳-۱۶۷-۲۰۰ تاریخ ۲۰۰۲ است، استفاده شد.

انتخابی (2-4) در شکل ۱۰ نشان داده می‌شود. همچنین نتایج تجزیه طیفی حاصل از روش PCA به صورت تصویر- نقشه نگاشت کانی در شکل ۱۱- الف آمده است و برای استخراج اکسیدهای آهن باندهای ۱، ۲، ۳ فرو سرخ نزدیک (NIR) سنجنده ASTER استفاده شد. افزون بر روش‌های یادشده از روش‌های پردازش طیفی دیگر، مانند روش‌های تجزیه طیفی فیلتر گذاری تطبیقی (MF) که تصویر- نقشه نگاشت کانی آن در شکل ۱۱- ب، روش پیش‌بینی خطی باند با استفاده از برازش کمترین مربعات (LS-Fit) که تصویر- نقشه نگاشت کانی آن در شکل ۱۱- ج و روش مقایسه زاویه طیفی میان بردار داده‌های طیفی مرجع (SAM) که نتایج و تصویر- نقشه نگاشت کانی آن در شکل ۱۱- د نشان داده شده است و روش مقایسه برازش (Fit) طیف مرجع با طیف تصویر با استفاده از روش کمترین مربعات (SFF) استفاده شد که نتایج و تصویر- نقشه نگاشت کانی این روش در شکل ۱۱- ر نمایش داده شده است. در این پژوهش، بنا به دلایل مختلف مانند موقعیت جغرافیایی و دارا بودن رطوبت بالا و پوشش گیاهی فراوان است، به کارگیری تنها یک روش از روش‌های مختلف تجزیه طیفی، امکان تفسیر و استخراج پهنه‌های دگرسانی با دقت بالا در محدوده مورد مطالعه وجود نداشت، به همین دلیل از روش‌های طیفی مختلف استفاده شد، که به نمونه‌ای از آن اشاره می‌شود. برای مثال تفکیک کانی‌های شاخص پهنه فیلیک از آرژیلیک به دلیل جذب همانند کائولینیت، ایلیت و مسکوویت در باند ۶ سنجنده ASTER ممکن نیست، برای تفکیک که بهترین پهنه دگرسانی از نتایج روش SFF استفاده شد، به همین دلایل سعی شد تا نتایج حاصل از روش‌های تجزیه طیفی مختلف (SFF & LS-Fit & SAM & MF) بدست آمده با هم بررسی شد. با بررسی نتایج این روش‌های طیفی چهارگانه و تلفیق اطلاعات آنها با هم‌دیگر یک نقشه تلفیق شده پایانی نگاشت کانی‌ها ارائه شد (شکل ۱۲) همچنین از آنجا که ساختارهای خطی مرتبط با گسل‌ها نقش مهمی با کانی‌سازی منطقه می‌توانند داشته باشند، خطوط واره‌ها و گسل‌ها در محدوده مورد مطالعه از داده‌های سنجنده ASTER با به کارگیری فیلتر گوسین از نوع High Pass استخراج شد (شکل ۷).

۶- مطالعات زمین‌شناسی صحرایی و بررسی نتایج تجزیه‌های آزمایشگاهی

در این پژوهش ابتدا با استفاده از روش‌های دورسنجی، تفسیر بصری و تجزیه‌های طیفی مختلف روی داده‌های سنجنده ASTER و تفسیر اطلاعات رُثوفیزیک هوایی (شدت کل میدان مغناطیسی، انجام گرفت)، که منجر تفکیک انواع پهنه‌های دگرسانی شد و سپس با کنترل صحرایی به همراه نمونه‌برداری از مناطق دگرسانی برای مطالعه مقاطع نازک و صیقلی، تجزیه و تحلیل نتایج آزمایشگاهی به روش (XRD, XRF ICP)، ارزیابی شد، که نتایج این بررسی انطباق مطالعات صحرایی و آزمایشگاهی با نتایج دورسنجی در محدوده اوغلان‌سر در بیش از ۹۰ درصد موارد مطالعه مورد تأیید قرار گرفت که نتیجه پایانی این مطالعات به صورت تصویر- نقشه پهنه‌های دگرسانی و خطوط واره‌ها و اندیس‌های فلزی از جمله طلا برای محدوده اوغلان‌سر ارائه شد. با توجه به مشاهدات زمینی و تصاویر ماهواره‌ای، دگرسانی در شمال گسترده اوغلان‌سر پیشترین گسترش را دارد که روند شمال باختり- جنوب خاوری ادامه پیدا می‌کند و در بخش‌های مرکزی محدوده دگرسانی شدت دگرسانی نسبت به دیگر مناطق بیشتر است. در مناطق دگرسان شده گاه تهنا کانی‌های مافیک تحت تأثیر دگرسانی قرار گرفته و گاه این دگرسانی به صورت انتخابی پیشتر روی فلدسپارها (دگرسانی انتخابی) پیش رفته است و گاهی نیز کل سنگ دچار تغییرات کانی‌شناسی حاصل از دگرسانی شده است (دگرسانی فراگیر)، که روند این دگرسانی شمال باختری، جنوب خاوری است و توسط پهنه‌های گسلی شمال باختری و جنوب خاوری کنترل می‌شود. مشاهدات صحرایی نشان می‌دهد که در شمال باختر محدوده

خاص. در این روش داده‌ها یا باندها در فضای جدیدی قرار می‌گیرند و مؤلفه‌های جدید جایگزین باندها و یا مؤلفه‌های پیشین هستند. در این فضای جدید هر کدام از این مؤلفه‌های جدید، ترکیب خطی از باندهای پیشین هستند و در این فضای جدید همبستگی میان باندها از بین می‌رود و باندهای مستقلی ایجاد می‌شوند. این روش تجربی است که توسط Crosta (1989) معرفی شد و بهمین دلیل بیشتر با این نام شناخته می‌شود (Crosta et al., 1989) در این روش به جای استفاده از همه باندها، باندهای خاصی را جدا و عمل PCA روی آن انجام می‌شود، سپس پدیده مورد نظر در مؤلفه ویژه‌ای آشکارتر از دیگر پدیده‌ها می‌شود. در کار استفاده از روش‌های یادشده، در این پژوهش از روش‌های مختلف تجزیه طیفی همچون Match Filtering و Spectral Angle Mapping و Spectral Feature Fitting و از داده‌های ASTER برای پهنه‌بندی دگرسانی‌ها استفاده شد. همچنین از داده‌های ETM⁺ به کارگیری فیلتر گوسین خطوط واره‌ها و ساختارهای خطی منطقه و نواحی دگرسانی کلی به روش نسبت نقطه باندی، استفاده شد. تمام عملیات پردازش و تفسیر تصاویر با نرم افزارهای دورسنجی همچون ENVI4.7، Geomatica10.3، انجام شد.

۴-۱. پژوهش داده‌ها

با استفاده از نرم افزارهای دورسنجی داده‌های ماهواره‌ای پس از تهیه، خواندن و آماده سازی با به کارگیری پیش‌پردازش داده‌ها (تصحیح هندسی سه‌بعدی و تصحیح رادیومتریک و موzaیک) روی آنها، شناسایی دگرسانی‌ها و خطوط واره‌ها با استفاده از روش‌های بصری و رقومی انجام شد (شکل ۴- ب).

۴-۲. پژوهش داده‌ها

در پردازش‌های بصری با توجه به ویژگی‌های تصویر می‌توان عوارض مختلف را استخراج کرد؛ در حالی که در پردازش رقومی الگوی مورد نیاز به عنوان یک الگوی نمونه در نرم افزار مورد استفاده قرار می‌گیرد و به طور خود کار این الگو در همه بخش‌های تصویر شناسایی می‌شود. با تلفیق این دو روش، عوارض مورد نظر با دقت بیشتری از تصاویر ماهواره‌ای قابل تشخیص هستند. روش‌های رقومی پردازش تصاویر ماهواره‌ای عبارتند از: نسبت گیری باندها، تجزیه مؤلفه‌های اصلی و تجزیه طیفی که انتخاب این روش‌ها بر پایه نوع اطلاعات مورد درخواست برای استخراج داده‌ها از تصاویر صورت می‌گیرد (شکل ۵ و ۶). اطلاعات استخراج شده از تصاویر ماهواره‌ای سنجنده ASTER و در این پژوهش شامل استخراج گسل‌ها، خطوط واره‌ها و مناطق دگرسانی و پهنه‌بندی آنهاست که برای استخراج این لایه‌ها از روش‌های نسبت گیری باندها، تجزیه مؤلفه‌های اصلی و تجزیه طیفی تصاویر استفاده شد.

۴-۳. تفسیر و استخراج اطلاعات لایه دگرسانی

در این مرحله ابتدا برای بررسی دگرسانی‌ها به این صورت کار شد که با ایجاد تصاویر ترکیب رنگی کاذب از راه ترکیب باندهای مختلف و با تفسیر بصری این تصاویر به دست آمد که از روش‌های متداول در شناسایی مناطق دگرسانی استفاده شد و همچنین با تهیه تصاویر رنگی مجازی از به کارگیری روش بسط عدم همبستگی و روش نسبت گیری باندها که با تبییر و تفسیر این تصاویر، مناطق دگرسانی گرمابی که به ترتیب در شکل ۸ به رنگ صورتی و در شکل ۹ به رنگ زرد در محدوده مورد نظر مشخص شد. همچنین روش مؤلفه‌های اصلی یکی دیگر از روش‌های مفید شناخته شده است و قابلیت استخراج اطلاعات مناسب، استفاده شد دگرسانی را دارد. برای تجزیه و تحلیل در این روش از باندهای مناسب، استفاده شد (Loughlin, 1991; Crosta & Moore, 1989). برای نمونه برای تفکیک پهنه‌های دگرسانی نوع آرژیلیک و آرژیلیک پیش‌رفته، از باندهای ۴ و ۵ و ۶ و ۷ که نتایج مقادیر ویژه مؤلفه‌های اصلی باندهای ۴ و ۵ و ۶ و ۷ در جدول ۱ است و برای تفکیک دگرسانی پروپلیتیک از باندهای ۴ و ۵ و ۶ و ۷ که نتایج مقادیر ویژه مؤلفه‌های اصلی باندهای ۶ و ۷ و ۸ در جدول ۲ است، از فرو سرخ (SWIR)، استفاده شد. تصویر ترکیب رنگی مجازی (RGB) حاصل از تجزیه مؤلفه‌های اصلی

تشخیص داده شده است. در بیشتر رگه‌های سیلیسی نیز پیریت در فرایند بروزنزد به اکسیدهای آهن تبدیل شده است. (شکل ۱۶-ب).

۷- تلفیق انواع لایه‌های مختلف اطلاعات برای تحلیل سامانه حاکم بر دگرسانی منطقه

تلفیق و بررسی داده‌ها در کنار هم می‌تواند نقش بهسازی در تفسیر پدیده‌های زمین‌شناسی و سامانه‌های حاکم بر کانی‌زایی داشته باشد و در این پژوهش برای بررسی ارتباط دگرسانی با سامانه‌های کنترل‌کننده دگرسانی از داده‌های ژئوفیزیک هوایی ۷/۵ کیلومتر شدت کل میدان مغناطیسی برگردان به قطب استفاده شد. در محدوده مورد نظر تلفیق داده‌های شدت میدان کل مغناطیسی برگردان به قطب با داده‌های دورسنجی و دیگر اطلاعات زمین‌شناسی انجام گرفت که نتایج خوبی از این تلفیق اطلاعات به دست آمد (شکل ۱۷-ب) از نتایج و تفسیر لایه‌های اطلاعاتی مختلف تلفیق شده بهویژه دو لایه اطلاعات داده‌های دورسنجی و ژئوفیزیک هوایی چنین بنظر می‌رسد که یک سامانه پویای حاکم برمنطقه (احتمال وجود نفوذی بهمراه کلریت، سرسیت و اکسید آهن مشخص می‌شود (شکل ۱۴-الف).

(۱) با توجه به نتایج به دست آمده از تلفیق تصاویر ماهواره‌ای و مغناطیس هوایی ۴ سامانه شامل ۱ سامانه بزرگ و ۳ سامانه کوچک ایزومتریک (همگون) تشخیص داده شد که این نتیجه می‌تواند الگوی اکتشافی در دیگر مناطق نیز باشد؛ (۲) نواحی دگرسانی در منطقه با بی‌亨جاري شدت میدان کل مغناطیسی برگردان به قطب در محدوده دارد؛ (۳) بی‌هنجاري پایین شدت میدان کل مغناطیسی برگردان به قطب در محدوده دگرسانی منطبق بر دگرسانی است، احتمال وجود نفوذی و نیمه‌آتشفشاری دگرسانی در ژرفای تقریباً ۲۰۰ متر پایین تر دور از انتظار نیست؛ (۴) در تصویر سمت چپ دوایر کوچک سرخ نقاط حفاری که توسط شرکت ملی مس انجام گرفته است را نشان می‌دهد، گفتنی است این حفاری‌ها در برخی از موارد تا ژرفای ۶۰۰ متری هم انجام شده ولی به یافتن کانسار نیانجامیده، که نکته قابل توجهی است. چرا که تلفیق لایه‌های مختلف اطلاعات با هم‌دیگر می‌تواند در راستای رسیدن به نتایج مطمئن و یا با کمترین خطای کمک کند. باید اشاره کرد، گفتنی است، اگر مطالعات اکتشافی پیشین در این منطقه تلفیق اطلاعات انجام می‌شد، شاید نتایج بهتری، در طراحی بهینه محل حفاری‌ها و صرفه جویی هزینه‌ها به دست می‌آمد.

۸- تصویر - نقشه پایانی پتانسیل معدنی در محدوده اوغلان سر

با توجه به مطالعات دورسنجی و اطلاعات مغناطیس هوایی و مشاهدات صحرایی و نتایج تجزیه آزمایشگاهی و دیگر لایه‌های اطلاعات زمین‌شناسی در (شکل ۱۹) مناطق امیدبخش معدنی در ۶ محدوده که به صورت کادر زرد مشخص شده است، همچنین نتایج تجزیه نمونه‌های طلدار از رگه‌های سیلیسی ارائه شد.

۸- بحث و نتیجه‌گیری

از آنجا که نواحی دگرسانی گرمابی می‌توانند ارتباط نزدیکی با مناطق کانی‌سازی و بهویژه احتمال کانسارهای گرمابی و پورفیری داشته باشند، بر این پایه تفکیک محدوده‌های دگرسانی می‌تواند کلیدی برای پی‌جوبی مواد معدنی با مقیاس ناحیه‌ای برای این نوع کانسارها باشد. دگرسانی، فرایندهای پیچیده تغییرات کانی‌شناسی و شیمیایی و بافتی و حاصل از واکنش سیال‌های داغ با سنگ‌های دربرگیرنده است و عبور این سیال‌های از واحدهای یادشده سبب تغییرات مهم و چشمگیری می‌شود که با توجه بهویژگی‌های امواج الکترومغناطیسی این مناطق دگرسانی قابل تفکیک در تصاویر ماهواره‌ای است. چرا که در طی فرایند دگرسانی مجموعه زیادی از کانی‌ها

رخداد شدید دگرسانی با بروزنزد یک آپوفریز گرانودیوریتی همراه است، که از بررسی‌های نتایج تجزیه کانی‌شناسی XRD (جدول ۳) و مقایسه نتایج حاصل از داده‌های ASTER با نتایج تجزیه XRD (جدول ۴)، کارهای دفتری و مشاهدات صحرایی مورد تأیید قرار گرفت.

۶-۱. دگرسانی آرژیلیک معمولی و پیشرفته

دگرسانی آرژیلیک در حاشیه و بالای دگرسانی فیلیک دیده می‌شود. این دگرسانی برپایه نتایج XRD و مطالعه مقاطع نازک با مجموعه کانی‌شناسی آلونیت، مجموعه کانی‌های رسی (کائولینیت، ایلیت، مونتموریلونیت، فلدسپار، ژاروسیت، کوارتز بهمراه کلریت، سرسیت و اکسید آهن مشخص می‌شود (شکل ۱۴-الف).

۶-۲. دگرسانی فیلیک

این دگرسانی در منطقه مورد مطالعه به صورت فراگیر، انتخابی و به شکل رگه-رگچه‌ای دیده شده است. در دگرسانی فراگیر بیشتر نمونه‌ها در مرکز کانی‌سازی و همه سنگ به مجموعه‌ای از کانی‌های سرسیت، کوارتز، کربنات و پیریت تبدیل شده‌اند و نشانه‌ای از بافت اولیه سنگ به چشم نمی‌خورد و نیز پلاژیوکلازها به صورت کامل به سرمه‌سیت، کوارتز و کربنات‌ها و کانی بیوتیت نیز توسط سرمه‌سیت و روئیل جایگزین شده است (شکل ۱۵-الف). در این منطقه فعالیت سیال‌های گرمابی افزون بر دگرسانی، سبب خردشده‌گی و پرشدگی آنها توسط کانی‌های فلزی (پیریت) شده است (شکل ۱۴-ج). در دگرسانی انتخابی، پلاژیوکلازها به طور بخشی به سرسیت و کانی‌های مافیک مانند بیوتیت، پیروکسن و هورنبلند به کلریت تبدیل شده‌اند، زمینه سنگ نیز به صورت پراکنده سرسیتی و سیلیسی شده است. این مورد به طور چیره در بخش‌های بیرونی و حاشیه‌ای دگرسانی فراگیر تشکیل شده است (شکل ۱۵-ج) همچنین بررسی‌های صحرایی و مقاطع نازک میکرو‌سکوبی نشان می‌دهد که دگرسانی فیلیک در منطقه شامل کانی‌های کوارتز- سرسیت- پیریت و کربنات است که با مقادیر کمی کلریت، ایلیت و روئیل نیز همراه شده است (شکل ۱۵-ب). شدیدترین بخش این دگرسانی در فراز فرسایشی حدود ۲۲۶۰ متری از سطح دریا (در کف و حاشیه آبراهه) و همراه با کانی‌زایی پیریت به صورت افshan و استوک ورک نموده باقی است (شکل‌های ۱۴-ب و ج).

۶-۳. دگرسانی پروپلیتیک

دگرسانی پروپلیتیک در برخی بخش‌ها در حاشیه دگرسانی‌های سرسیتی و آرژیلیک و بیشتر در شمال باخته منطقه دیده می‌شود (شکل ۱۴-د). این دگرسانی در منطقه به طور اندیزیت با اجتماع کانی‌های کلریت، کربنات و اپیدوت مشخص می‌شود که با مقادیر جزیی از کوارتز، کانی‌های رسی و سرسیت همراه است و بیشتر این کانی‌ها حاصل از دگرسان شدن کانی‌های آهن و منیزیم دار مانند هورنبلند و بیوتیت و کمی پلاژیوکلاز است (شکل ۱۵-د).

۶-۴. دگرسانی سیلیسی شدن

در منطقه سیلیسی شدن یکی از گسترده‌ترین دگرسانی‌ها و دارای دو نوع است. در نوع اول دگرسانی، سیلیس که از شبکه کانی‌های سیلیکاتی آزاد شده است، دوباره به زمینه سنگ‌ها افزوده و با تبلور سیلیس ریز بلور، موجب سیلیسی شدن آن شده و همچنین به صورت پرشدگی در امتداد شکستگی‌ها، رگچه‌های کوارتزی را به وجود آورده است. این نوع سیلیس بیشتر در دگرسانی سرسیتی (فیلیک) شدید و همراه با کانی‌زایی پیریت است و نوع دیگر سیلیس، به صورت رگه‌ها و پهنه‌های سیلیسی هستند به طور چیره در روندهای خاصی جایگزین شده‌اند (شکل ۱۶-الف).

۶-۵. دگرسانی اکسید آهن در منطقه بروزنزد

دگرسانی پس از کانی‌زایی شامل آبگیری و اکسایش در منطقه بروزنزد است که به اکسید شدن کانی‌های سولفیدی و تولید کانی‌های رسی از فلدسپارهای اولیه می‌انجامد. در منطقه مورد مطالعه این پهنه با فراوانی اکسید و هیدروکسیدهای آهن مانند ژاروسیت- گوتیت و هماتیت مشخص می‌شود، که برپایه نتایج تجزیه XRD

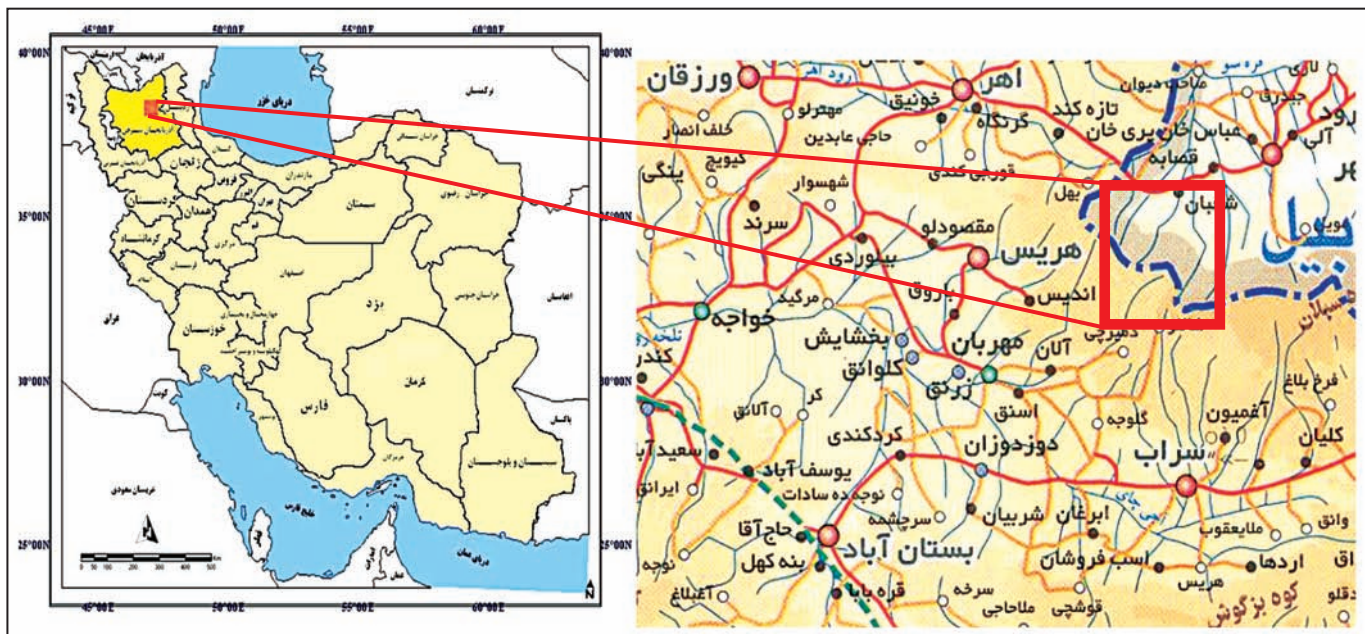
در صد دارد که این دگرسانی‌ها شامل پهنه‌های آرژیلیک (معمولی و پیش‌فته)، فیلیک، پروپلیتیک و سیلیسی شدن و اکسید آهن است.

- در مناطقی که پوشش گیاهی و رطوبت خاک زیاد است نتایج حاصل از پردازش روش‌های طبیعی مرسوم، به تنهایی توانایی نگاشت کانی‌ها و استخراج دگرسانی‌ها را ندارد و باید از نتایج تلفیق شده روش‌های تحلیل طبیعی استفاده کرد.
- از میان روش‌های طبیعی به کار برده شده، برای استخراج دگرسانی‌ها روش FPCS به دلیل کاهش خطای ناشی از پوشش گیاهی و روش MF و LS-Fit به دلیل کاهش نویز تصویر، نتایج بهتری نسبت به دیگر روش‌ها ایجاد کردند.
- مشاهدات صحرایی همبستگی نقاط دارای کانی‌سازی طلا را با دگرسانی‌های سریسيتی، سیلیسی و آلونیتی حاصل از پردازش داده‌های ماهواره‌ای ASTER تأیید می‌کند.
- گسترش دگرسانی‌ها در منطقه توسط ساختارهای منطقه شمال باخترا- جنوب خاور کنترل می‌شود که این مطلب را تصاویر ماهواره‌ای و نشانه‌های زمینی به دست آمده از منطقه تأیید می‌کند.
- با توجه به تشخص پهنه‌بنایی‌های مختلف دگرسانی و اطلاعات حاصل از آن، نتایج تجزیه نمونه‌های آزمایشگاهی، نشانه‌های زمین‌شناسی صحرایی و احتمال کانی‌زایی اپی‌ترمال و پورفیری در منطقه وجود دارد.
- تلفیق لایه‌های مختلف اطلاعاتی به ویژه داده‌های ژئوفیزیکی هوایی به همراه داده‌های ماهواره‌ای در شناسایی مناطق کانی‌زایی با توجه به سامانه‌های ساختاری حاکم بر منطقه می‌تواند مناسب‌ترین روش باشد.
- با توجه به توانایی استخراج پهنه‌های دگرسانی‌های مختلف توسط داده‌های ASTER برای پی‌جوبی و اکتشاف مقدماتی کانسوارهای پورفیری و اپی‌ترمال ضرورت پیدا می‌کند، ولی این سنجنده در شناسایی پهنه دگرسانی پتاسیک محدودیت دارد و برای این منظور استفاده از داده‌های فراتری طبیعی توصیه می‌شود.

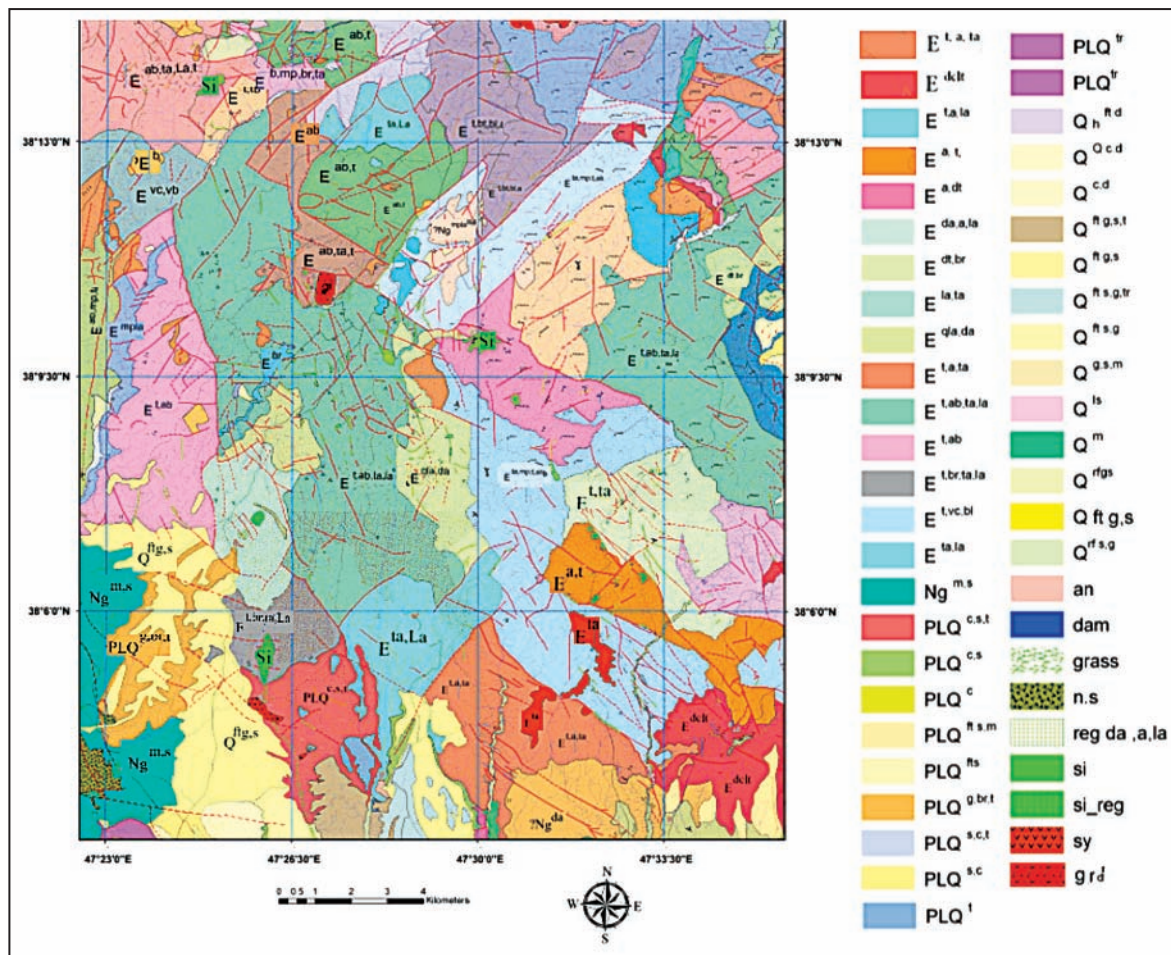
به وجود می‌آید که از مهم‌ترین این کانی‌های توان به کانی‌های با بنیان OH اشاره کرد. هدف اصلی از این پژوهش پردازش تصاویر سنجنده ASTER به منظور پهنه‌بنایی (زون‌بنایی) نواحی دگرسانی و اعتبارسنجی این نتایج با مشاهدات زمینی و تجزیه نمونه‌های صحرایی در محدوده مطالعه بود، که در ابتدا این مناطق دگرسانی کلی حاصل از پردازش تصاویر⁺ ETM تشخیص داده شده‌اند و سپس به منظور پهنه‌بنایی (زون‌بنایی) نواحی دگرسانی یادشده از تصاویر سنجنده ASTER با توجه به قابلیت‌های فنی این سنجنده استفاده شد. در ادامه به بحث در مورد ضرورت تلفیق داده‌ها در منطقه مطالعه پرداخته شد در پایان پس از تشخیص و تفکیک محدوده‌های دگرسانی توسط داده‌های سنجنده، نتایج با اطلاعات زمینی (مشاهدات صحرایی و نتایج آزمایشگاهی) ارزیابی و با اطلاعات استخراج شده از پردازش داده‌های مغناطیسی هوایی تلفیق شد که نتایج حاصل از این بررسی خوب بود. بنابراین در پژوهش حاضر ضرورت مطالعات دورسنجی و تلفیق داده آنها با دیگر اطلاعات در راستای کاهش هزینه‌ها و بهبود نتایج پژوهه‌های اکتشافی در دیگر مناطق به دست آمد، که به مواردی از این نتایج اشاره می‌شود.

- با توجه به نتایج بدست آمده از تلفیق تصاویر ماهواره‌ای و مغناطیسی هوایی⁴ سامانه شامل ۱ سامانه بزرگ و ۳ سامانه کوچک ایزو متريک (همگون) تشخیص داده شد که این نتیجه می‌تواند الگوی اکتشافی در دیگر مناطق نیز باشد.

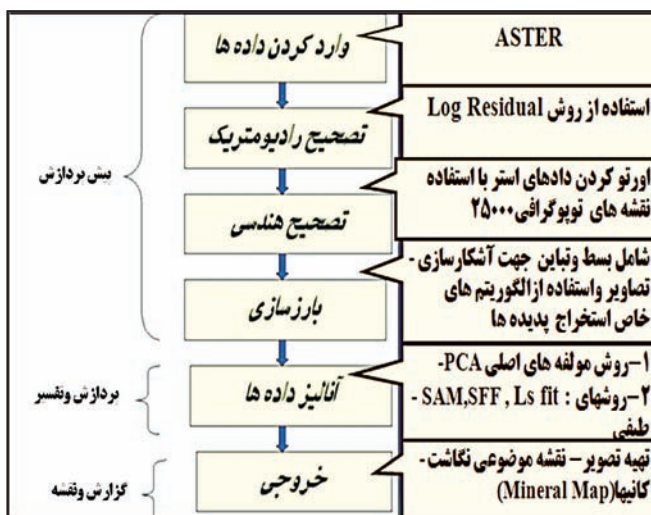
- بی‌هنجاری پایین شدت میدان کل مغناطیسی برگردان به قطب ژئوفیزیک هوایی منطبق بر مناطق دگرسانی است، با تفسیر این مساله احتمال وجود توده‌های نفوذی و نیمه آتششانی اسیدی در ژرفای تقریباً ۲۰۰ متر پایین تر دور از انتظار نیست.
- نواحی دگرسانی در منطقه با بی‌هنجاری شدت میدان مغناطیسی برگردان به قطب هم‌خوانی دارد. پهنه‌های دگرسانی حاصل از پردازش داده‌های ASTER با نتایج حاصل از مطالعات میدانی و آزمایشگاهی محدوده مطالعه هم‌خوانی بالای ۹۰٪



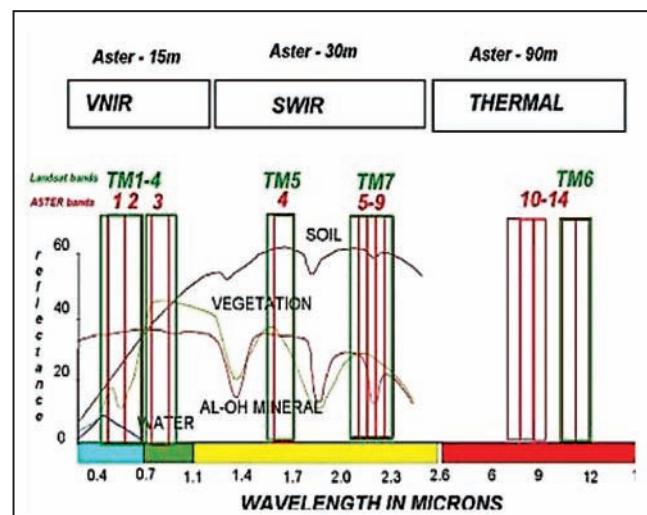
شکل ۱- موقعیت جغرافیایی و راه‌های دسترسی محدوده مطالعه (اطلس راه‌های ایران، ۱۳۸۶).



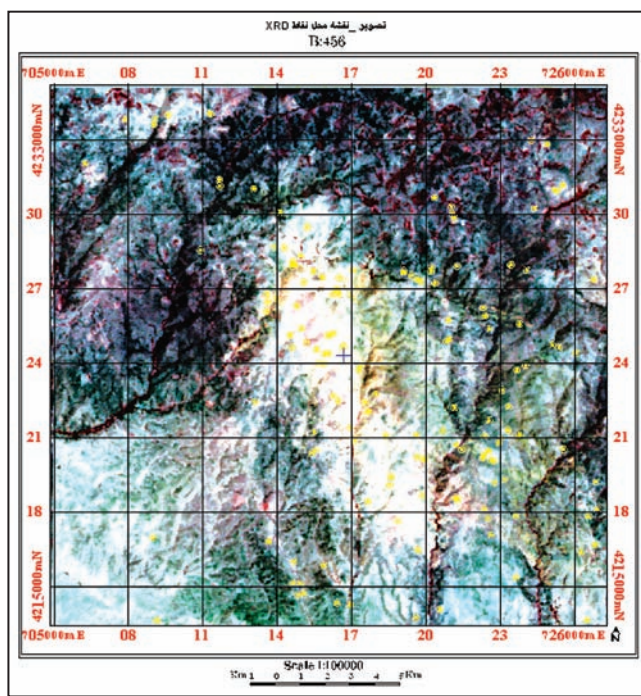
شکل ۲- نقشه زمین‌شناسی ۱:۲۵۰۰۰ از منطقه اوغلان‌سر (بهار فیروزی و رفاهی، ۱۳۹۰).



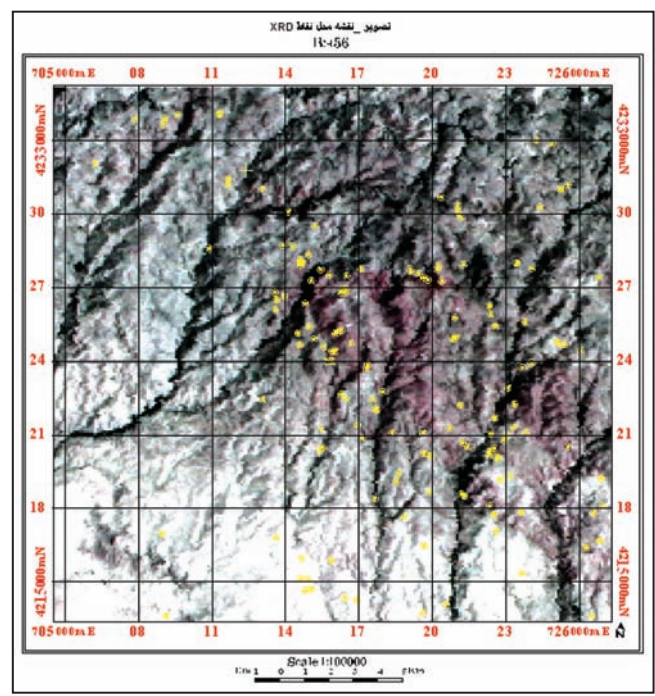
شکل ۴- فلوچارت بردازش داده های ASTER.



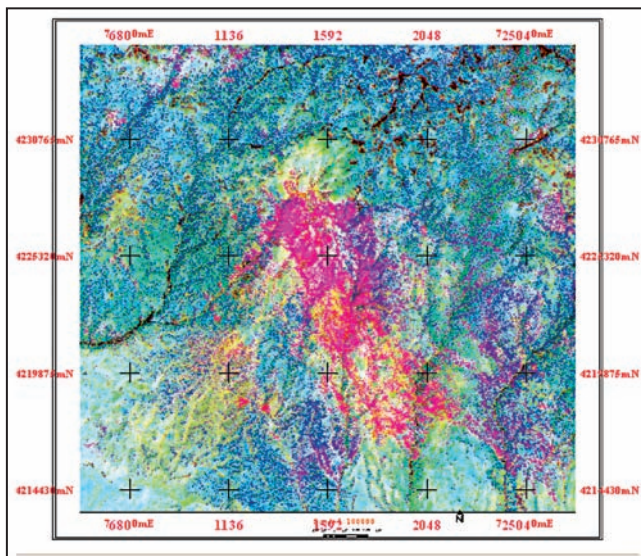
شکل ۳- ویژگی های طیفی سنجنده (Yetkin, 2003) ASTER.



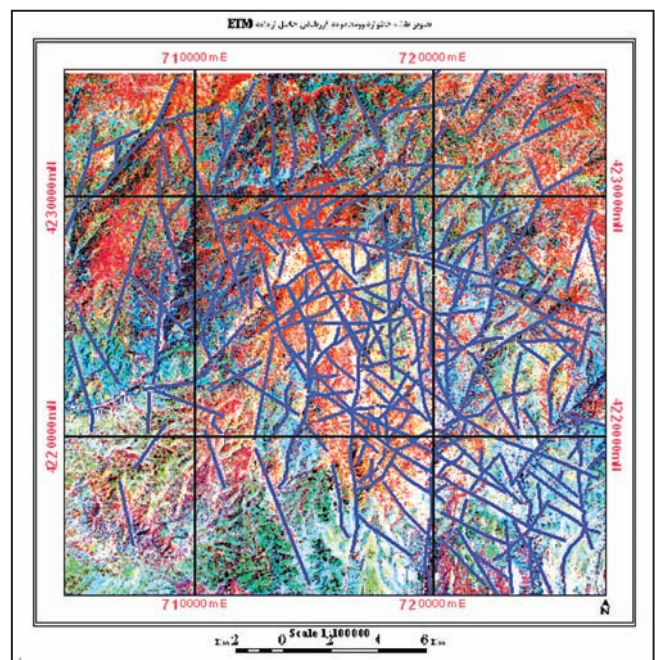
شکل ۴- مناطق دگرسانی سیلیسی به رنگ سرخ در تصویر حاصل از باندهای حرارتی ۴، ۵ و ۶ زرد محل نمونه برداری.



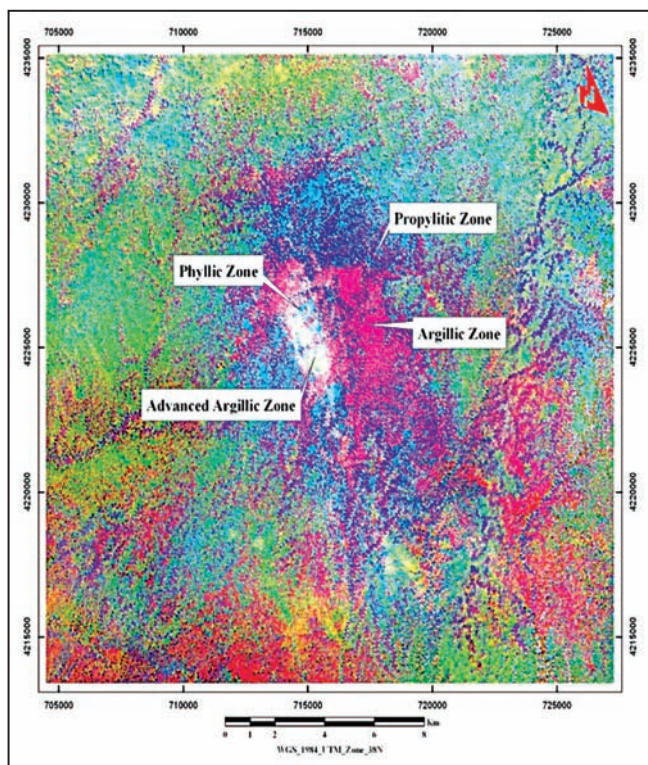
شکل ۵- مناطق دگرسانی آرژیلیک به رنگ صورتی در تصویر حاصل از باندهای SWIR ۴، ۵ و ۶ نقاط محل نمونه برداری.



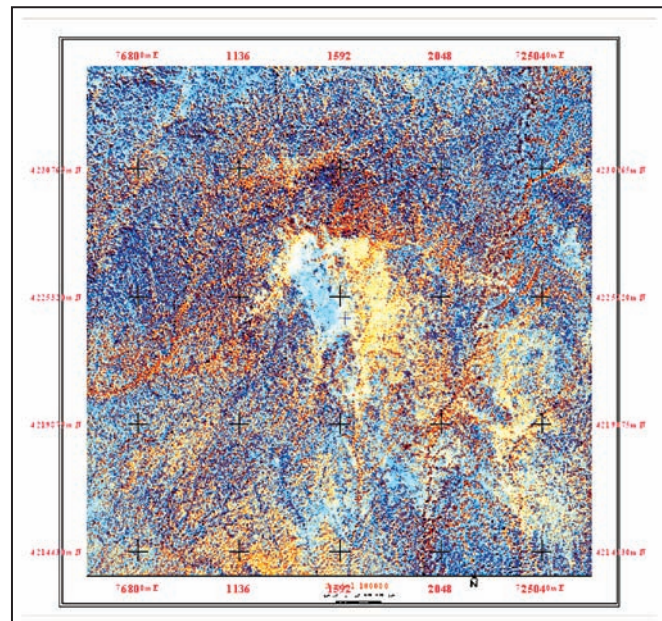
شکل ۸- ترکیب رنگی بسط عدم همبستگی باندهای ۴۶۸ برای نمایش مناطق دگرسانی به رنگ صورتی.



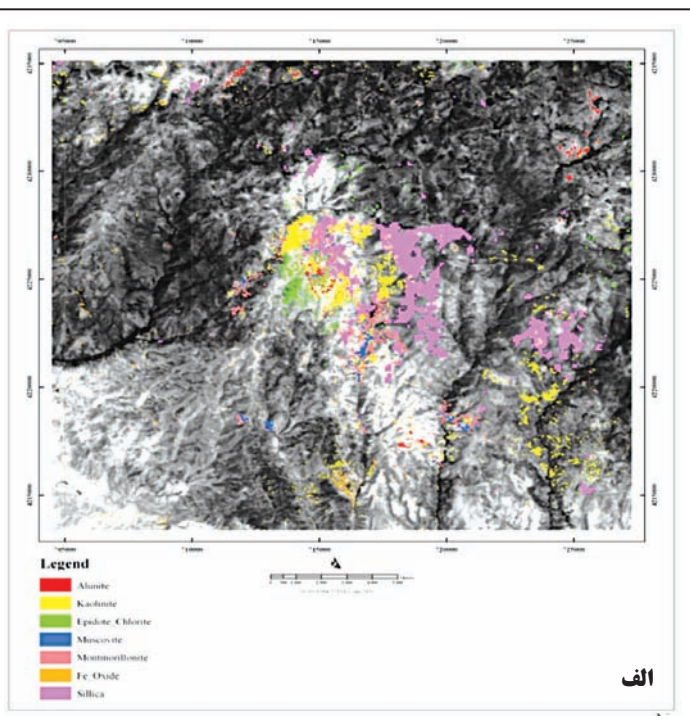
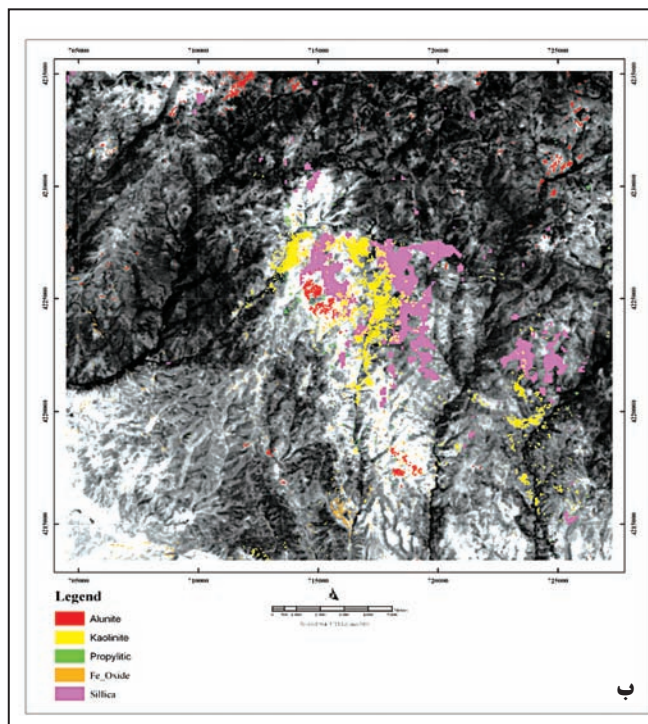
شکل ۷- نقشه خطواره‌ها در محدوده اوغلان سر استخراج شده از داده‌های ETM با استفاده از فیلتر گوسین.



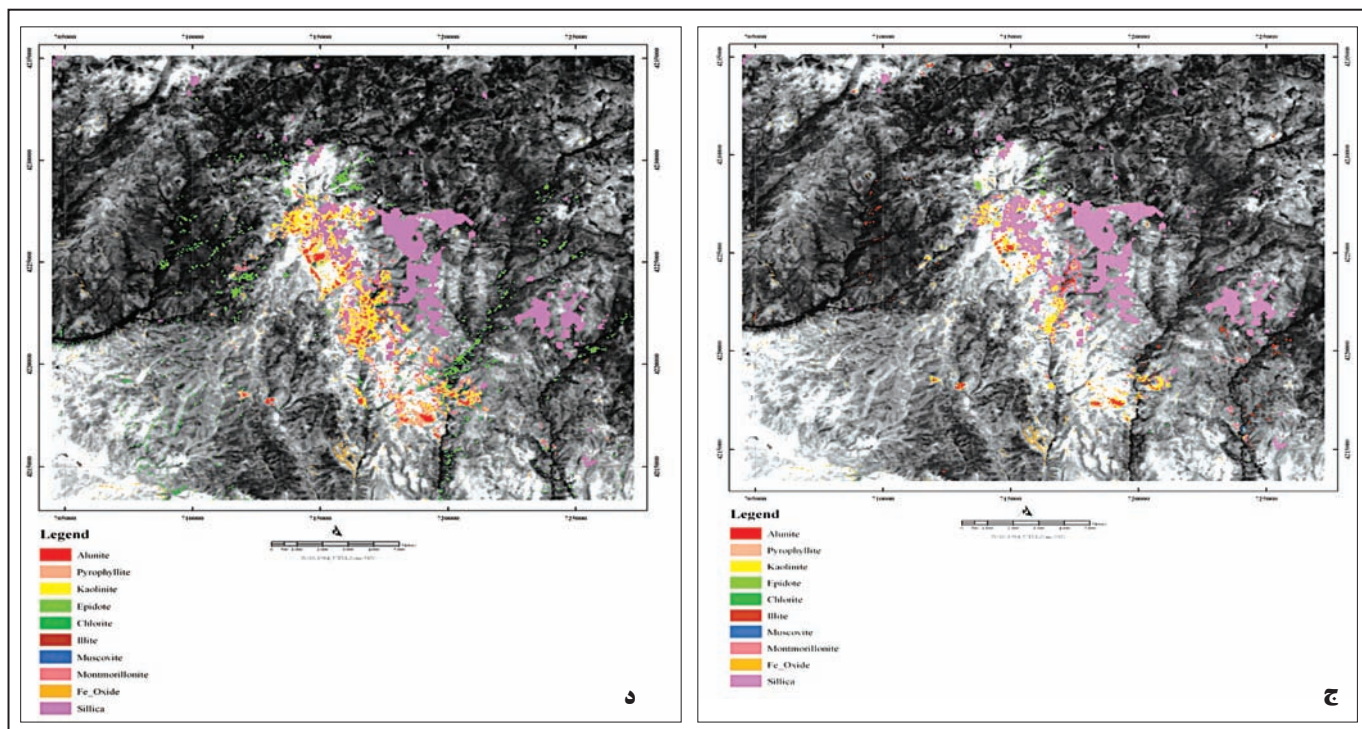
شکل ۹- ترکیب رنگی مجازی حاصل از تحلیل مؤلفه‌های اصلی با داده ASTER
. (RGB: PC3-t1, PC4-t1, PC4-t2)



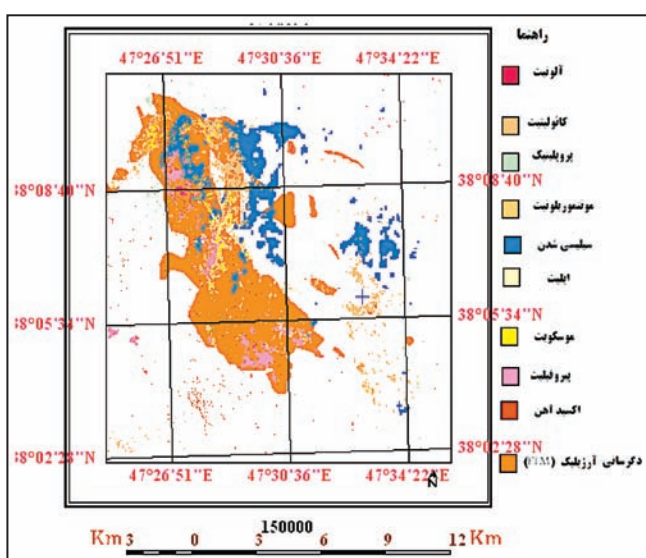
شکل ۱۰- ترکیب رنگی نسبت باندی RGB: 5/6, 7/6, 7/5 سنجنده ASTER به رنگ زرد



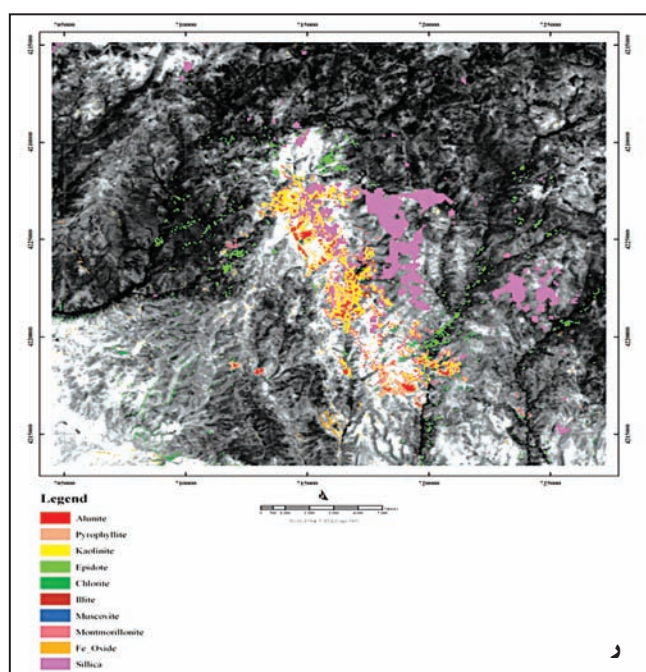
شکل ۱۱- (الف) نقشه نگاشت کانی‌های استخراج شده از تصویر ASTER با استفاده از روش LS-FIT ؛ (ب) نقشه نگاشت کانی‌های استخراج شده از تصویر PCA با استفاده از روش ASTER



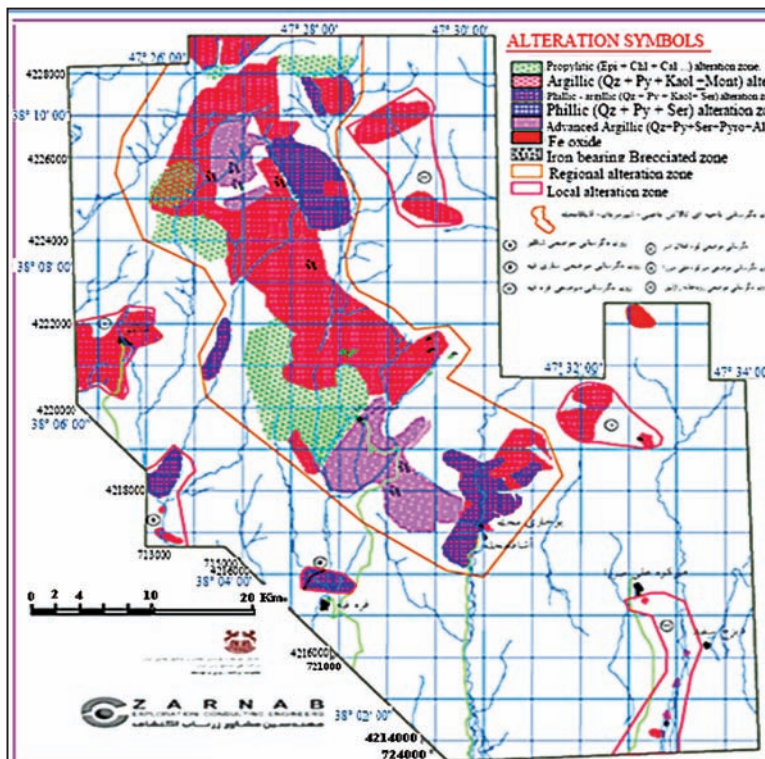
شکل ۱۱- ج) نقشه نگاشت کانی های استخراج شده از تصویر ASTER با استفاده روشن MF؛ د) نقشه نگاشت کانی های استخراج شده از تصویر ASTER با استفاده از روشن SAM



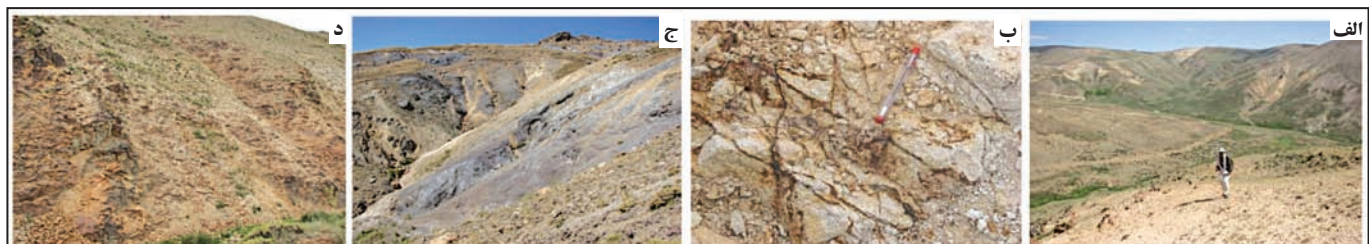
شکل ۱۲- نقشه تلفیق شده پایانی نگاشت کانی های حاصل از روش های مختلف تحلیل طیفی از پردازش، داده های ETM, ASTER برای مشخص کردن پهنه های دگرسانی.



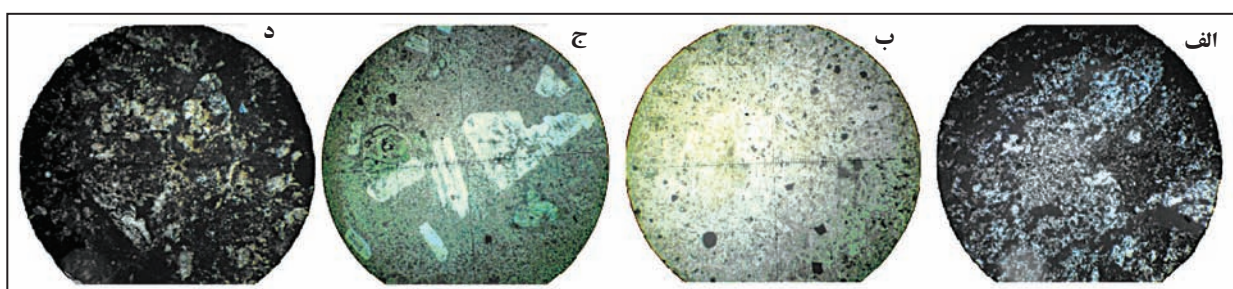
شکل ۱۱- ر) نقشه نگاشت کانی های استخراج شده از تصویر ASTER با استفاده از روشن SFF



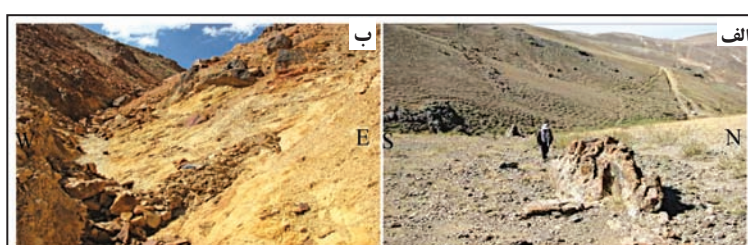
شکل ۱۲- نقشه دگرسانی ۱:۲۵۰۰۰ از منطقه اوغلان سر (مهندسين مشاور زرتاب اكتشاف، ۱۳۸۵)



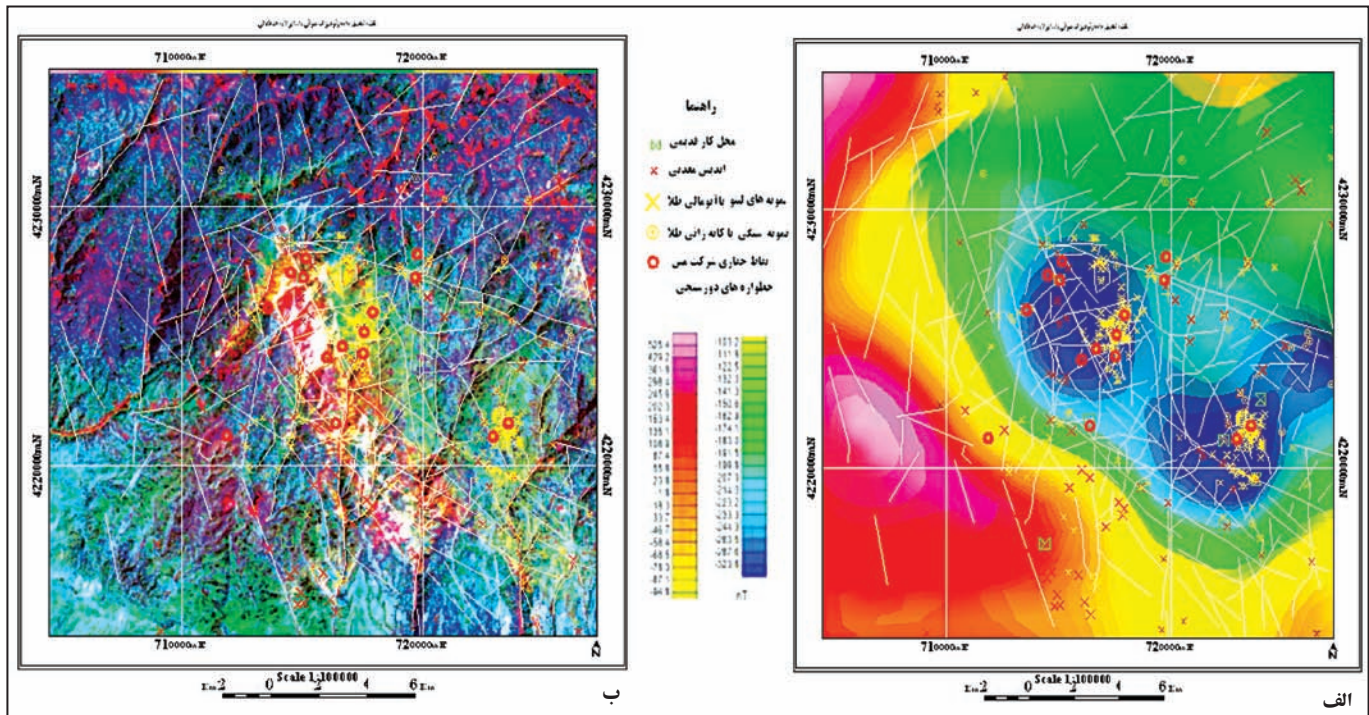
شکل ۱۴- (الف) دگرسانی شدید آرژیلیک در منطقه به همراه دگرسانی فیلیک؛ (ب) کانی زایی پیریت (اکسید شده) به صورت افسان و استوکورک؛ (ج) دگرسانی فیلیک در منطقه به همراه اکسید آهن حاصل از فرایندهای برونزاد؛ (د) دگرسانی پروپلیتیک به همراه دگرسانی آرژیلیک در حاشیه دگرسانی اصلی.



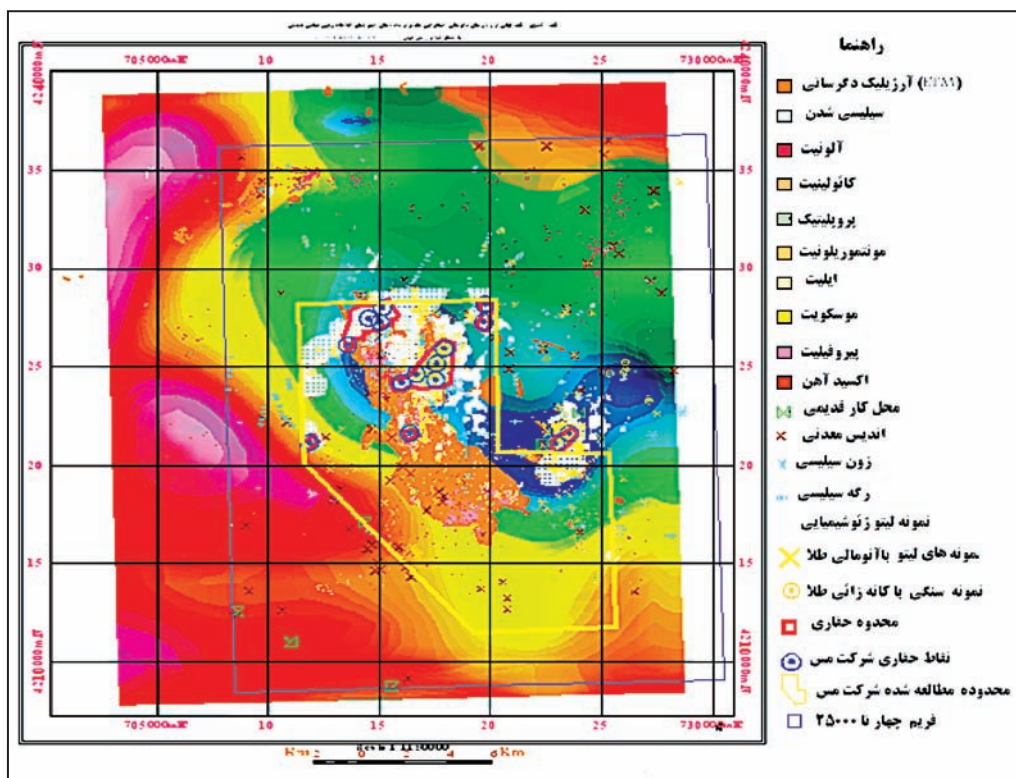
شکل ۱۵- (الف) مقطع نازک کانی‌های کوارتز و سریست XPL 60X؛ (ب) مقطع نازک کانی‌های مافیک دگرسان شده و پلازیوکلاز در حال آرژیلیتی و سریستی شدن 60X؛ (ج) مقطع نازک فلدسپارهای در حال آرژیلیتی و سریستی شدن XPL 60X؛ (د) مقطع نازک از کلریتی و کربناتی شدن 60X.



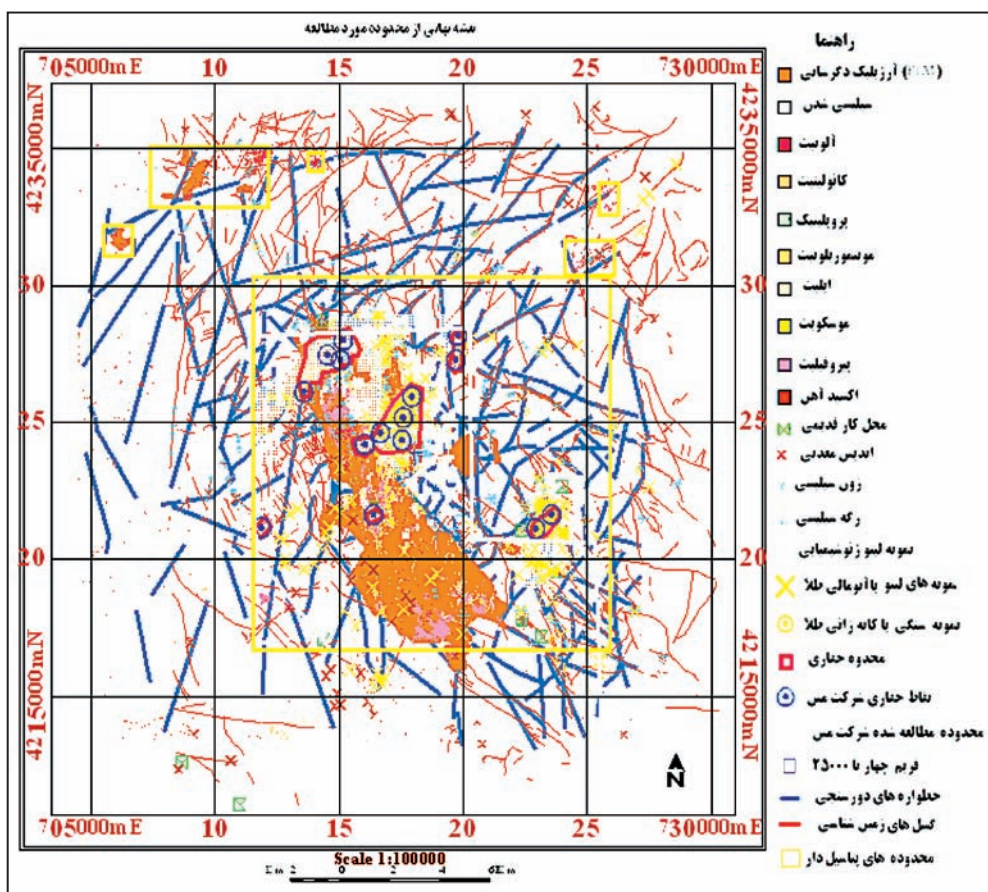
شکل ۱۶- (الف) نمایی از پیچ‌ها و پهنه‌های سیلیسی به همراه اکسید آهن؛ (ب) نمایی از واحدهای سیلیسی شده به همراه دگرسانی اکسید آهن در منطقه برونزاد.



شکل ۱۷- مقایسه نقشه حاصل از داده‌های ماهواره‌ای تصویر (الف) به همراه محل نقاط کانی زایی طلا (رنگ زرد)، خطواره‌ها (رنگ سفید) و مناطق خواری شرکت ملی مس (دوایر سرخ) (ب) با داده‌های مغناطیس هوایی.



شکل ۱۸- تصویر داده ژئوفیزیک با انواع دگرسانی و ساختارهای خطی حاصل از پردازش داده‌های ماهواره‌ای ASTER به همراه دیگر اطلاعات معدنی در محدوده مورد مطالعه.



شکل ۱۹- نقشه پایانی انواع دگرسانی و ساختارهای خطی حاصل از پردازش داده‌های ماهواره‌ای ASTER و دیگر اطلاعات معدنی.

جدول ۱- مقادیر ویژه مؤلفه‌های اصلی باندهای ۴ و ۵ و ۶ و ۷

Band 7	Band 6	Band 5	Band 4	Eigenvector
0.184275	0.187717	0.199041	0.944027	PC 1
-0.51205	-0.58404	-0.53691	0.329291	PC 2
0.76411	-0.64391	-0.03652	-0.01342	PC 3
0.346392	0.457204	-0.81901	0.014152	PC 4

جدول ۲- مقادیر ویژه مؤلفه‌های اصلی باندهای ۶ و ۷ و ۸ و ۹

Band 9	Band 8	Band 7	Band 6	Eigenvector
0.216831	0.419053	0.615165	0.631625	PC 1
-0.07283	-0.29272	-0.56412	0.768624	PC 2
0.665258	0.543064	-0.50269	-0.09909	PC 3
0.710712	-0.66618	0.225049	-0.02119	PC 4

جدول ۳- نتایج تجزیه XRD برای کانی شناسی.

S.No.	XRD RESULTS	S.No.	XRD RESULTS
S-۴۷۷	ILLITE + KAOLINITE	S-۶۰۷	.DOLOMITE+QUARTZ+CALCITE+CLAYMINERAL
S-۴۷۸	ILLITE + CHLORITE.	S-۷۳۰	QUARTZ+ILLITE+FELDSPAR(minor).
S-۱۰۰۲	ILLITE + KAOLINITE.	S-۷۴۴	QUARTZ+ FELDSPAR+MICA+CHLORITE.
S-۱۰۲۰	ILLITE..	S-۷۴۵	QUARTZ+ CLAYMINERALS.
S-۱۰۲۹	ILLITE + KAOLINITE.MICA	S-۷۴۶	QUARTZ+ALUNITE.
S-۱۰۳۳	ILLITE + KAOLINITE.	S-۷۵۳	QUARTZ+ MICA.
S-۱۰۳۷	QUARTZ.+Mica	S-۷۸۴	QUARTZ+KAOLINITE+ GOETHITE+HEMATITE.
S-۱۰۴۲	QUARTZ + CALCITE + CLY MINERAL (minor).	S-۷۸۹	QUARTZ+ALUNITE+FELDSPAR(minor).
S-۱۰۴۳	QUARTZ.	S-۸۰۷	QUARTZ+GOETHITE.
S-۱۰۴۶	QUARTZ + CALCITE + CLAY MINERAL (minor).	S-۸۲۰	QUARTZ+KAOLINITE.
S-۶۱۱	QUARTZ+CALCITE+HEMATITE+CLAY MINERAL	S-۸۴۰	QUARTZ +ILLITE(minor)+KAOLINITE(minor).
S-۶۱۱	QUARTZ+CLAY MINERAL	S-۸۴۵	QUARTZ+ILLITE+FELDSPAR.
S-۶۰۰	QUARTZ+CLAY MINERAL	S-۸۷۳	QUARTZ+MICA+FELDSPAR(minor).
S-۵۲۰	QUARTZ+FELDSPAR+CLAY MINERAL+PYRITE	S-۹۴۴	QUARTZ+KAOLINITE.
S-۴۱۸	QUARTZ+FELDSPAR+CLAY MINERAL	S-۱۰۰۰	QUARTZ+KAOLINITE+ ALUNITE

جدول ۴- مقایسه نتایج تجزیه طیفی تصاویر ASTER با نتایج حاصل از XRD در منطقه دگرسانی.

Sample No	SD_1005	SD_976	SD_969	SD_987
ASTER results	Kao, Mont, Ili, Ser	,Mon, Ili, Ser, Jar, SI	,Ser, SI Kao, Mont	,Kao, Mont, Ili, Jar SI
XRD results	Q ·Alu. (Cly (Kao,	Q,Cly Mon +Ili	(Q, FLD,Cly (Kao +Ili	Q,Cly (Kao) , Alu
Sample No	SD_753	SD_991	SD_973	SD_995
ASTER results	Kao, Mont, Alu, Jar	Kao, Alu, OX Fe, SI	SI ,Kao, Mont, Alu	SI, Kao, Mont, OX Fe
XRD results	Q,(Kao + Ili), Alu	(Q,Got, Cly (Kao	Q,Kao, Mica, Jar	,Q, Ox Fe Kao
Sample No	SD_1038	SD_784	SD_611	SD_978
ASTER results	Kao, Q, Mont, Alu	Kao, Q, Ox F, Ser	Kao, Q, Mont ,SI	SI, Mont, Ili
XRD results	Q,Kao, Alu	Q, HEMA ,KAO	Q+CA+HEM+CLY	Q,ILI,FELD

جدول ۵- نتایج تجزیه طلا به روش جذب اتمی نمونه های برداشت شده از منطقه.

ردیف	شماره نمونه	Au(ppb)	ردیف	شماره نمونه	Au(ppb)
1	S_347	3800	18	S_464	450
2	S_352	3100	19	S_105	400
3	S_444	3100	20	S_361	400
4	S_330	1800	21	S_186	340
5	S_682	1200	22	S_283	310
6	S_701	1100	23	S_109	300
7	S_114	1000	24	S_325	300
8	S_345	700	25	S_477	280
9	S_365	620	26	S_601	253
10	S_372	610	26	S_395	220
12	S_136	600	27	S_126	200
13	S_141	560	28	S_293	200
14	S_331	530	29	S_599	188
15	S_124	500	30	S_267	180
16	S_447	500	31	S_137	170
17	S_700	458	32	S_329	140

کتابنگاری

اطلس راه‌های ایران، ۱۳۸۶- مؤسسه جغرافیایی و کارتوگرافی و گیتاشناسی.

بهارفیروزی، خ. و رفاهی، د.، ۱۳۹۰- گزارش و نقشه زمین‌شناسی ۱:۲۵۰۰۰ اوغلانسر، سازمان زمین‌شناسی و اکتشافات معدنی کشور.

جاهدی، ف. و فرخی، ش.، ۱۳۸۳- ترجمه کتاب مبانی سنجش از دور، انجمن سنجش از دور ژاپن، انتشارات مرکز سنجش از دور ایران.

گزارش اکتشافات ژئوشیمیایی نیمه تفصیلی (لیتوژئوشیمیایی ۱:۵۰۰۰) منطقه شاللو، ۱۳۸۵- شرکت ملی صنایع مس ایران، مهندسین مشاور کاوشگران.

گزارش و نقشه زمین‌شناسی و آلتراسیون محدوده ۱۲۵۰۰ شاللو، ۱۳۸۵- شرکت ملی صنایع مس ایران، مهندسین مشاور زرتاب اکتشاف.

References

- Crosta, A. & Moore, J., 1989- Enhancement of Landsat Thematic Mapper imagery for residual soil mapping in SW Minas Gerais State, Brazil: a prospecting case history in Greenstone belt terrain. In: Proceedings of the 7th ERIM Thematic Conference: Remote sensing for exploration geology, pp. 1173-1187.
- Loughlin, W. P., 1991- Principal Component Analysis for Alteration Mapping, Photogrammetric Engineering & Remote Sensing, 27, No.9, 1163 -1169.
- Yetkin, E., 2003- Alteration mapping by remote Sensing: Application to Hasandag- Melendiz -Volcanic Complex.

Alteration Zones Studies North of Sarab by Sateillite Data, Airborne Geophysics Data & Sampling Analysis

D. Refahi ^{1*}, A. Khakzad ², N. Nezafati ³, K. Bahar Firozi ⁴ & A. Bayatani ⁵

¹M.Sc. Student, Department of Geology, Islamic Azad University, Science and Research Branch, Tehran, Iran

²Associate Professor, Department of Geology, Islamic Azad University, North Tehran Branch, Tehran, Iran

³Associate Professor Department of Geology , Islamic Azad University, Science and Research Branch, Tehran, Iran

⁴ Ph.D., Geological Survey of Iran, Tehran, Iran

⁵M.Sc., Geological Survey of Iran, Tehran, Iran

Received: 2012 April 02 Accepted: 2012 August 04

Abstract

Development of advance tools in remote sensing and airborne geophysics during recent decades shows this industry importance. In this paper, aster sensor imagery (Advanced Space born Thermal – Radiometer) and airborne geophysics employed in order to zoning alteration area, mineralization system analysis and prospecting in 1:25000 Oghlansar sheet, which is situated in north of Sarab City in East Azerbaijan province. The area is located in structural zone of the Eastern Alborz-Azerbaijan. The lithology of area contains Eocene-Neogene magmatic-volcanic complex such as andesite, rhyodacite, rhyolite, and granodiorite associated with pyroclastics such as tuffs, volcanic breccia and lava flows. In this investigation, we applied different methods of spectral analysis and normal classification such as SAM (Spectral Angel mapping), MF (Match Filtering) using ASTER images. Furthermore, spectral analysis methods on airborne geophysics data were engaged in order to extract shallow bodies and recognition of faults. ASTER imagery process and airborne geophysics data led to primary potential mineral map of the area. For credibility of results, 200 samples were taken and analyzed by XRD, XRF and ICP methods. Consequently, 190 samples (95%) confirmed the results of remote sensing and airborne geophysics processes. Conclusions of this research revealed that applying concurrency both the remote sensing and airborne geophysics data could be led to improve the precision of the results.

Keywords: Alteration, Aster, Spectral Analysis, Airborne Geophysics, Oghlansar

For Persian Version see pages 221 to 234

*Corresponding author: D. Refahi; E-mail: d.refah@gmail.com